

II-168

## 振動乱流中の3次元組織的乱流構造の瞬間像の測定

東京工業大学工学部 正員 日野幹雄  
 東京工業大学大学院 学生員 孟 岩  
 東京工業大学大学院 学生員 村山雅昭

1.はじめに

交番振動乱流の減速期に生じる乱れの大部分は3次元組織的な乱流構造によるものであることが我々の今までの研究によって明らかになってきた<sup>1)</sup>。これらの実験は条件付抽出法によりデータを収集しアンサンブル平均して3次元構造の平均像を求めたものであった。しかし、この平均像が個々の組織構造の姿を正しく反映しているとは限らない。また、アンサンブル平均操作を行うため瞬間的な情報を失ってしまう。そこで本研究では、11本のX型の熱線プローブを同時に用いて、主流に垂直な面内に配置し、3次元空間内の瞬間的な速度U, Vを測定した。また、今回開発したデータ解析手法<sup>2)</sup>を用いてこれらの速度成分U, Vから速度成分Wを推定し、振動乱流中の3次元組織的乱流構造の瞬間像を捕らえることができた。

2.実験装置および実験方法

振動流風洞は図1に示したように幅26cm、高さ10cmの矩形断面を持ち長さ14mのアクリル製風路である。一端でピストンをモータで駆動することにより交番振動流が作られる。壁面に鉛直方向はY軸で、スパン方向はZ軸で、ピストンの運動方向をX軸に取る。本研究の実験

条件は参考文献1と同じように設定した。測定は自作の定温度方式X型プローブの熱線風速計で行い、熱線の出力はレーザー・ドップラーレー流速計を用いて、キャリブレーションした。本研究で用いたA/D変換器は最大24チャンネルの信号を同時刻にサンプリングでき、周波数1kHzで使用した。

3次元空間内の瞬間的な速度を計測するために、11本のプローブは図2に示したように主流に垂直な面内に配置し、瞬間的な速度U, Vを測定した。図2に示している点線は推定空間を表している。中央部の1本のプローブはdetector probeとして、設置し、大きいレイノルズ応力のピークを検出した時に、検出点の前後それぞれ50msずつのデータを収集した。図3はその一つの例であり、上からそれぞれ主流速U、速度変動u, vおよびレイノルズ応力-u vを示している。縦の点線が検出した瞬間である。この図を見て分かるように、主流速は短い区間の間にほとんど変化していない、流れ場はこの短い区間の間に準定常と考えられる。空間データを得るために、Taylorの渦凍結仮説を用いて、速度変動u, vの時系列を検出点の前後それぞれ50mmずつの空間に変換した。

3.実験結果及び考察

実験から得られた速度U, Vのデータから3次元空間内の速度U, V, Wを求めるために、まず、X, Y, Z軸方向に20\*10\*20のメッシュをきり、それぞれのYZ面内の11点

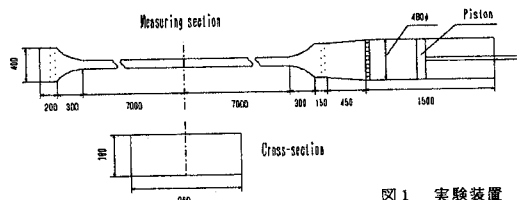


図1 実験装置

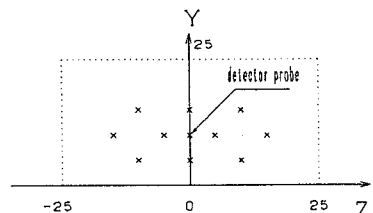


図2 11本のプローブの配置図

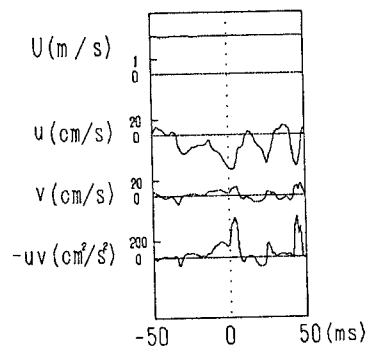


図3 主流速U、瞬間的な速度変動u, v及びレイノルズ応力-u v

での実験データからその断面内の速度変動  $u$ ,  $v$  を内挿し、そして、後に述べるMASCON法を用いてもう一つの速度成分  $w$  を推定した。内挿方法としては仮想荷重法<sup>3)</sup>を用いた。図4(a)は1本のプローブから得られた速度変動  $v$  の空間分布で、図4(b)は仮想荷重法による内挿結果を示している。すべてのメッシュ点

での  $u$ ,  $v$  の内挿値を得た後、残りの速度成分  $w$  を求めるために、MASCONモデルを用いた。MASCONモデル<sup>4)</sup>はmass consistentな場を表すモデルという意味であり、連続式を満たすように、流れ場を付帯条件付き変分法によって修正する方法である。図5(a)から図5(d)はその推定結果を示している。図5(a)は  $Z=0$  の鉛直断面内の速度変動  $u$ ,  $v$  のベクトルを示し、検出用プローブの周りに低速上昇流が生じていることが分かる。図5(b)は壁に平行な  $XZ$  平面内で ( $Y=1\text{ cm}$ ) の  $u$ ,  $w$  のベクトルを示している。この図から検出用プローブの近くで強い横流れが生じていることが分かる。図5(c)は  $X=0$  断面内の  $v$ ,  $w$  のベクトルを示しており、検出用プローブの近くに回転している流れが存在していることが分かる。最後に、3次元乱流構造の全体像を見るために、瞬間的な速度変動  $u$ ,  $v$ ,  $w$  の空間分布を図5(d)に示した。3次元乱流構造に伴う流れは非常に複雑な動きをしていることが分かる。

#### 4. おわりに

1本のX型の熱線プローブの同時測定データから、仮想荷重法とMASCON法を用いて得られた3次元的な組織乱流構造の瞬間像はアンサンブル平均した構造の形とはかなり違っていることが分かった。

#### 参考文献

- 1) 孟岩・日野幹雄・福西祐: 第33回水理講演会論文集, pp. 559-564, 1989.
- 2) 日野幹雄・孟岩・村山雅昭: 東京工業大学土木工学科研究報告, No.41, 1989.
- 3) 日野幹雄: 東京工業大学土木工学科研究報告, No.18, 1975.
- 4) Sasaki, Y.: J. Meteor. Soc. Japan, 36, pp. 77-88, 1958.

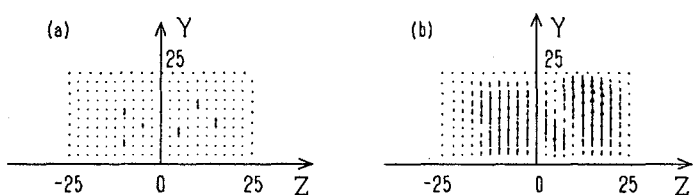


図4 仮想荷重法によるYZ断面内の速度変動  $v$  の内挿  
(a) 1本のプローブから得られた速度変動  $v$   
(b) 仮想荷重法による内挿結果

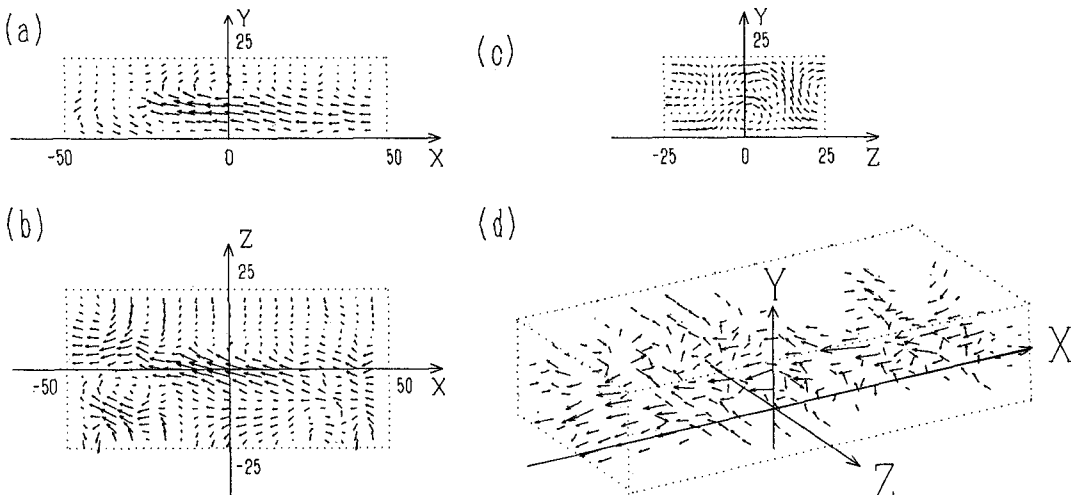


図5 MASCON法による推定結果  
(a) XY断面内の速度変動  $u$ ,  $v$  (b) XZ断面内の速度変動  $u$ ,  $w$   
(c) YZ断面内の速度変動  $v$ ,  $w$  (d) 速度変動  $u$ ,  $v$ ,  $w$  の空間分布